



دانشکده علوم

گروه فیزیک

عنوان پایان نامه:

بررسی درهم تنیدگی در سیستم‌های باز

رساله ارائه شده به عنوان بخشی از ملزومات برای دریافت درجه کارشناسی ارشد
فیزیک گرایش ذرات بنیادی

استاد راهنما:

دکتر محسن سربیشه‌ای

استاد مشاور:

دکتر صفا جامی

نگارش:

وحید پریشانی فروشانی

تیر ماه ۱۳۸۸

از زحمات دلسوزانه استاد گرانقدر آقای دکتر محسن سربیشه‌ای که شکوه دانش آموختگی از ایشان برای من بسیار گرانبهاست، نهایت سپاس را به جا می‌آورم.

از یاری‌های استاد فرزانه سرکار خانم دکتر صفا جامی که افتخار همراهی با ایشان برایم بسیار با ارزش بود، نهایت تشکر را دارم.

از استاد گرامی آقایان دکتر محمد ابراهیم زمردیان و دکتر کوروش جاویدان که زحمت مطالعه این پایان نامه را بر عهده گرفته‌اند کمال سپاسگزاری را دارم.

از کلیه استاد گروه فیزیک دانشگاه فردوسی مشهد سپاسگزارم.

از جانب آقای دکتر ایمان سرگلزه‌ی و آقای میرافضلی و کلیه دوستان و همراهان همیشگی‌ام که بدون هیچ چشمداشتی به من یاری رساندند، نهایت سپاسگزاری و تشکر را بجا می‌آورم.

همچنین از دفتر گروه فیزیک به ویژه سرکار خانم‌ها اکبری و عصمت‌مدادار بسیار سپاسگزارم.

در پایان از جانب آقای مفید بحرانی از استاد محترم دانشگاه علوم پزشکی مشهد بخاطر حمایت بسی دریغشان کمال سپاسگزاری را دارم.

وحید پریشانی فروشانی

چکیده :

در هم‌تنیدگی نقشی اساسی در نظریه اطلاعات کوانتومی، همچون فرآیندهای فرابرد کوانتومی، کدگذاری چگال و رمزگاری کوانتومی ایفا می‌کند. بنابراین بررسی دینامیک آن در سیستم‌های فیزیکی باز مختلف دارای اهمیت اساسی است. برای بررسی دینامیک سیستم‌های باز کوانتومی، می‌توان از روش ابرعملگرها (عملگرهای کراوس) یا از معادلات Langevin، Master یا Stochastic استفاده نمود. در قسمت‌های مختلف این پایان‌نامه از روش عملگرهای کراوس و Differential معادله Master استفاده شده است.

با توجه به پیشرفت‌های نظری و تجربی در زمینه اپتیک کوانتومی، بررسی دینامیک در هم‌تنیدگی در سیستم‌های باز اپتیکی دارای اهمیت ویژه است. یکی از حالت‌های اصلی مورد بحث در اپتیک کوانتومی حالت‌های همدوس می‌باشد. حالت‌های همدوس حالت‌هایی هستند که دینامیک آنها بیشترین شباهت را به رفتار کلاسیکی نوسانگ هماهنگ دارد.

در این پایان‌نامه دینامیک در هم‌تنیدگی یک سیستم باز دوجزئی متشکل از حالت‌های همدوس را در شرایط مختلف فیزیکی مورد بررسی قرار می‌دهیم. در بررسی این سیستم علاوه بر پدیده آشنای میرایی ناگهانی در هم‌تنیدگی (میرایی در هم‌تنیدگی در زمانی بسیار کوتاه‌تر از میرایی همدوسی سیستم)، به پدیده جالب تولد ناگهانی در هم‌تنیدگی (بازتولید در هم‌تنیدگی پس از نابودی آن) نیز برمی‌خوریم.

عنوان	صف	حه
چکیده‌نامه	ت	
فصل اول : مفاهیمی از اپتیک کوانتومی	۱	
مقدمه	۲	
حالتهای عددی نوسانگر هماهنگ(حالتهای فوک)	۲	
خصوصیات حالتهای فوک (حالتهای عددی نوسانگر هماهنگ)	۳	
حالتهای همدوس	۳	
خواص حالت همدوس	۴	
حالت همدوس دارای کمینه عدم قطعیت هستند.	۴	
حالتهای همدوس متعامد نیستند	۵	
حالتهای همدوس یک مجموعه فوق کامل هستند	۵	
عملگر جابجایی	۶	
آمار فوتونی	۸	
حالتهای فشرده	۸	
عملگر فشردگی و حالت همدوس فشرده	۱۰	
حالت فشرده به عنوان ویژه حالت عملگر نابودی تعمیم یافته	۱۱	
نوسانهای عملگر تربیع	۱۲	
آمار فوتونی	۱۳	
حالتهای فشرده چند مُدی	۱۳	

۱۴

شکل صریح حالت‌های فشرده در پایه‌های فوک

۱۵

فصل دوم : نویسه‌های کوانتمومی

۱۶

مقدمه

۱۶

معادله *Master*

۱۹

معادله اصلی برای تک نوسانگر در برهمکنش با یک مجموعه نوسانگر در تعادل گرمایی

۲۲

ابر عملگرها (عملگر کراوس)

۲۵

کanal‌های کوانتمومی

۲۶

کanal واقطبشی

۲۷

کanal فاز میرا

۲۸

کanal دامنه میرا

۳۰

فصل سوم : درهم‌تنیدگی کوانتمومی

مقدمه

۳۲

عملگر چگالی

۳۴

درهم‌تنیدگی

۳۴

همبستگی حالت‌های کوانتمومی

۳۴

جداپذیری و درهم‌تنیدگی

۳۵

معیارهای درهم‌تنیدگی

۳۵

تجزیه اشمیت

۳۶

معیار پرس

۳۷

معیار منفیت

۳۷

معیار توافق

بررسی جمع‌پذیری تاثیر نویه‌های مختلف بر سیستم‌های درهم‌تنیده و مقایسه آن با تئوری سیستم‌های باز
۴۰ کوانتمومی

۴۴ فصل چهارم : بررسی پدیده ESD برای یک سیستم همدوس که با محیط خود جفت شدگی دارد

۴۵ مقدمه

۴۵ محاسبه عملگر چگالی برای یک سیستم همدوس با استفاده از نمایش P

۵۰ بررسی پدیده میرایی ناگهانی درهم‌تنیدگی (ESD) با استفاده از معیار منفیت

۶۹ نتیجه‌گیری و پیشنهادها

۷۱ پیوست

۷۳ فهرست منابع

۸۱ چکیده انگلیسی

فصل اول

مفاهیمی از اپتیک کوانتومی

در این فصل پس از ذکر مقدمات، تعریف حالت
همدوس و حالت فشرده را ارائه می‌دهیم.

حالتهای همدوس^۱ برای اولین بار توسط شرودینگر در سال ۱۹۲۶ در رابطه با حالتهای کلاسیک نوسانگر هماهنگ کوانتومی پیشنهاد شدند. این حالتها، حالت‌هایی هستند که دینامیک آنها بیشترین شباهت به رفتار کلاسیکی نوسانگر هماهنگ را دارد. بین سال‌های ۱۹۲۶ تا ۱۹۶۳ فعالیت در این زمینه عملاً راکد ماند تا در این سال توسط گلوبر^۲ و سودارشان^۳ کاربردهایی از این حالت‌ها در اپتیک کوانتومی ارائه گردید. آنها میدان نور را به صورت یک مجموعه از نوسانگرهای هماهنگ در نظر گرفتند بطوریکه حالت‌های عددی تعداد ذرات نور در هر مد نوسانگر را معرفی می‌کرد. حالتهای همدوس در واقع ویژه حالت‌های عملگر نابودی نوسانگر هماهنگ می‌باشند که توسط گلوبر به منظور مطالعه توابع همبسته الکترومغناطیس مورد استفاده قرار گرفتند. در دهه ۱۹۷۰ میلادی به حالت‌های فشرده که در ابتدا حالات همدوس تعمیم‌یافته یا حالت‌های همدوس دو فوتونی^۴ نامیده می‌شدند، توجه بیشتری شد.

۱-۱. حالتهای عددی نوسانگر هماهنگ (حالتهای فوک^۵)

حالتهای عددی در مکانیک کوانتومی، ویژه حالت‌های هامیلتونی میدان آزاد هستند. این نام به افتخار V.A.Fock است.

عملگر شمارش^۶ N را که تعداد فوتون‌های موجود را در مد n ام نوسانگر هماهنگ می‌دهد به صورت $N_m = a_m^\dagger a_m$ تعریف می‌کنیم. که در آن a^\dagger ، a به ترتیب عملگرهای خلق و نابودی می‌باشند. حالت کلی سیستم از ضرب تانسوری بردارهای حالت هر مد حاصل می‌شود. اگر هامیلتونی و عمرگر شمارش را در این پایه‌ها نمایش دهیم، قطری خواهد شد. روابط زیر را برای یک مد خاص داریم:

$$a^\dagger |n\rangle = \sqrt{n+1} |n+1\rangle \quad , \quad a |n\rangle = \sqrt{n} |n-1\rangle \quad 1-1$$

¹ Coherent states

² Glauber

³ Sudarshan

⁴ Two photon coherent state

⁵ Fock states

⁶ Number operator

$$N |n\rangle = a^\dagger a |n\rangle = n |n\rangle \quad 2-1$$

$$H |n\rangle = \hbar\omega \left(a^\dagger a + \frac{1}{2} \right) |n\rangle = \hbar\omega \left(n + \frac{1}{2} \right) |n\rangle = E_n |n\rangle \quad 3-1$$

برای بدست آوردن k آمین مد، $\langle n_k | n_k \rangle$ از حالت خلاء می‌بایست k بار عمق خلق a^\dagger را بر حالت خلاء تاثیر داد.

$$|n_k\rangle = \frac{(a_k^\dagger)^{n_k}}{\sqrt{n_k!}} |\circ\rangle \quad , \quad n_k = 0, 1, 2, \dots \quad 4-1$$

۱. خصوصیات حالت‌های عددی نوسانگر هماهنگ (حالت‌های فوک)

$$\langle n_k | m_k \rangle = \delta_{nm} \quad 1. \quad \text{حالت‌های عددی (حالت‌های فوک) متعامد هستند.}$$

$$\sum_{n=0}^{\infty} |n_k\rangle \langle n_k| = 1 \quad 2. \quad \text{حالت‌های عددی (حالت‌های فوک) مجموعه کامل هستند.}$$

۳. عدم قطعیت عملگر N برای این حالت‌ها صفر است. یعنی مولفه‌های آن نوسان ندارند [۱-۷].

۲-۱. حالت‌های همدوس

حالت‌های همدوس توسط گلوبر و سودارشن به عنوان ویژه حالت‌های عمق نابودی a معرفی شدند [۳، ۷]. بنابراین حالت‌های همدوس، ویژه حالت‌های یک مشاهده‌پذیر فیزیکی نیستند. برای حالت همدوس $|\alpha\rangle$ ، برای مورد تکمیلی داریم:

$$a|\alpha\rangle = \alpha|\alpha\rangle \quad 5-1$$

که در آن α می‌تواند هر عدد مختلطی باشد.

هر حالت همدوس را می‌توان بر حسب حالت‌های عددی (فوک) بسط داد:

$$|\alpha\rangle = \sum_{n=0}^{\infty} C_n |n\rangle \quad 6-1$$

که با قرار دادن در معادله (۵-۱) داریم

$$\left. \begin{array}{l} a|\alpha\rangle = \sum_{n=0}^{\infty} C_n \sqrt{n} |n-1\rangle \\ a|\alpha\rangle = \alpha \sum_{n=0}^{\infty} C_n |n\rangle \end{array} \right\} \quad C_n \sqrt{n} = \alpha C_{n-1} \quad \Rightarrow \quad C_n = \frac{\alpha^n}{\sqrt{n!}} C_0 \quad 7-1$$

برای پیدا کردن ضریب C_0 از شرط بهنگارش استفاده می‌کنیم

$$\langle \alpha | \alpha \rangle = 1 = |C_0|^2 \sum_n \frac{(\alpha)^{2n}}{n!} = |C_0|^2 \exp |\alpha|^2 \quad 8-1$$

در نتیجه بسط حالت همدوس بر حسب حالت‌های فوک را می‌توان به صورت زیر نوشت [۶، ۷].

$$|\alpha\rangle = \exp \left(-\frac{|\alpha|^2}{2} \right) \sum_n \frac{\alpha^n}{\sqrt{n!}} |n\rangle \quad 9-1$$

۱. خواص حالت همدوس

حالت‌های همدوس دارای خواصی هستند که آنها عبارتند از:

i. حالت‌های همدوس دارای کمینه عدم قطعیت هستند.

اگر عملگرهای x و p را بر حسب عملگرهای خلق و نابودی باز نویسی کنیم.

$$a = \frac{1}{\sqrt{2\hbar\omega}} (\omega x + ip) \quad , \quad a^\dagger = \frac{1}{\sqrt{2\hbar\omega}} (\omega x - ip) \quad 10-1$$

برای محاسبه اصل عدم قطعیت^۷ هایزنبرگ، خواهیم داشت:

$$\langle x \rangle_\alpha = \sqrt{\frac{\hbar}{2\omega}} \langle \alpha | (a + a^\dagger) | \alpha \rangle = \sqrt{\frac{\hbar}{2\omega}} (\alpha + \alpha^*) \quad 11-1$$

$$\langle x^2 \rangle_\alpha = \frac{\hbar}{2\omega} \langle \alpha | (a + a^\dagger)^2 | \alpha \rangle = \frac{\hbar}{2\omega} \left(1 + (\alpha + \alpha^*)^2 \right) \quad 12-1$$

$$\langle \Delta x \rangle_\alpha^2 = \langle x^2 \rangle_\alpha - \langle x \rangle_\alpha^2 = \frac{\hbar}{2\omega} \quad 13-1$$

⁷ Heisenberg uncertainty principle

برای تکانه، p نیز رابطه مشابهی بدست می‌آید

$$(\Delta p)_{\alpha}^2 = \frac{\hbar\omega}{2} \quad 14-1$$

در نتیجه

$$(\Delta x)_{\alpha}^2 (\Delta p)_{\alpha}^2 = \frac{\hbar^2}{4} \quad 15-1$$

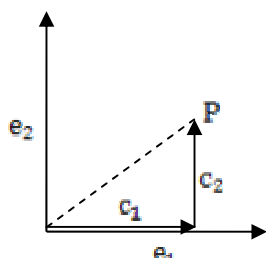
که نشان می‌دهد حالت همدوس دارای کمینه عدم قطعیت هستند [۲، ۴، ۷].

ii. حالتهای همدوس متعامد نیستند [۳، ۴، ۷]

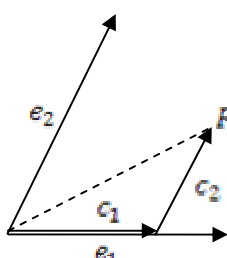
$$\begin{aligned} \langle \alpha | \beta \rangle &= \exp\left(-\frac{1}{2}(|\alpha|^2 + |\beta|^2)\right) \sum_{n,m} \langle m | \frac{\alpha^n \beta^* m}{\sqrt{n!m!}} | n \rangle \\ &= \exp\left(-\frac{1}{2}(|\alpha - \beta|^2)\right) \exp\left(\frac{1}{2}(\alpha\beta^* - \alpha^*\beta)\right) \end{aligned} \quad 16-1$$

$$|\langle \alpha | \beta \rangle|^2 = \exp(-|\alpha - \beta|^2) \quad 17-1$$

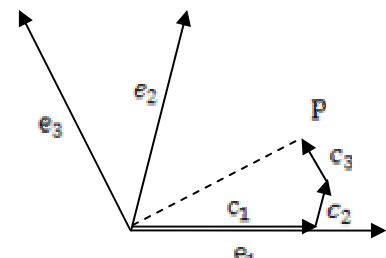
iii. حالتهای همدوس یک مجموعه فوق کامل^۸ هستند.



شكل ۱



شكل ۲



شكل ۳

نمایش نقطه p در صفحه مختصات با استفاده از مولفه‌های بردار مکان:

شکل (۱): پایه‌ها متعامد و مستقل خطی هستند و مجموعه کاملی را تشکیل می‌دهند، نمایش $r = c_1 e_1 + c_2 e_2$ یکتا می‌باشد. شکل (۲): پایه‌ها نامتعامد هستند ولی هنوز استقلال خطی دارند و مجموعه کاملی تشکیل می-

^۸ Over complete

دهند، نمایش $r = c_1 e_1 + c_2 e_2 + c_3 e_3$ یکتا می‌باشد. شکل (۳): پایه‌ها، e_1, e_2, e_3 ، نامتعادم هستند و مجموعه فوق کاملی را تشکیل می‌دهند که هر کدام از پایه‌ها می‌تواند ترکیبی از پایه‌های دیگر باشد بنابراین، نمایش $r = c_1 e_1 + c_2 e_2 + c_3 e_3$ یکتا نمی‌باشد. برای پایه‌های شکل (۳)، مجموعه فوق کامل را با از بین بردن یکی از پایه‌ها می‌توان به مجموعه کامل تبدیل کرد ولی این کار در حالت کلی ساده نمی‌باشد.

برای بدست آوردن رابطه کامل بودن^۹ برای حالت‌های همدوس به روش زیر عمل می‌کنیم.

$$\int d^2\alpha |\alpha\rangle\langle\alpha| = \sum_{n,m}^{\infty} \frac{|n\rangle\langle m|}{\sqrt{n!m!}} \int d^2\alpha \exp(-|\alpha|^2) \alpha^n \alpha^{*m} \quad ۱۸-۱$$

با قرار دادن:

$$\alpha = r \exp(i\phi) \quad \Rightarrow \quad d^2\alpha = r dr d\phi \quad ۱۹-۱$$

داریم

$$\int d^2\alpha |\alpha\rangle\langle\alpha| = \sum_{n,m}^{\infty} \frac{|n\rangle\langle m|}{\sqrt{n!m!}} \int dr r^{n+m+1} \exp(-|r|^2) \int d\phi \exp(i(n-m)\phi) \quad ۲۰-۱$$

با توجه به اینکه:

$$2\delta_{n,m} = \frac{1}{\pi} \int d\phi \exp(i(n-m)\phi) \quad ۲۱-۱$$

$$\int d^2\alpha |\alpha\rangle\langle\alpha| = \pi \quad \Rightarrow \quad \frac{1}{\pi} \int d^2\alpha |\alpha\rangle\langle\alpha| = 1 \quad ۲۲-۱$$

که نشان می‌دهد حالت‌های همدوس فوق کامل‌اند [۳,۶,۸].

iV. عملگر جابجایی^{۱۰}

حال عملگر $D(\alpha) = \exp(\alpha a^\dagger - \alpha^* a)$ ، که عملگر جابجایی نامیده می‌شود را معرفی می‌کنیم. می‌توان نشان داد حالت‌های همدوس از تاثیر عملگر جابجایی بر حالت خلاء حاصل می‌شوند [۳,۴,۷,۸] Glauber.

برای این منظور از اتحاد بکر، هاستروف و کمپل استفاده می‌کنیم.

^۹ Complete

^{۱۰} Displacement

$$\exp(A+B) = \exp(A)\exp(B)\exp\left(-\frac{1}{2}[A,B]\right) \quad 23-1$$

$$D(\alpha)|\circ\rangle = \exp(\alpha a^\dagger - \alpha^* a)|\circ\rangle = \exp\left(-\frac{|\alpha|^2}{2}\right)\exp(\alpha a^\dagger)\exp(-\alpha^* a)|\circ\rangle \quad 24-1$$

اثر بخش اول می‌دهد:

$$\exp(-\alpha^* a)|\circ\rangle = \left(1 - \alpha^* a + (\alpha^* a)^2 / 2! - \dots\right)|\circ\rangle = |\circ\rangle \quad 25-1$$

بخش دوم را به صورت بسط زیر می‌نویسیم.

$$\exp(\alpha a^\dagger)|\circ\rangle = \sum_{n=0}^{\infty} \frac{\alpha^n}{n!} (a^\dagger)^n |\circ\rangle \quad 26-1$$

$$(a^\dagger)^n |\circ\rangle = \sqrt{n!} |n\rangle \quad 27-1$$

$$D(\alpha)|0\rangle = |\alpha\rangle \quad 28-1$$

با توجه به بسط زیر خواهیم داشت:

$$\exp(\varepsilon A)B\exp(-\varepsilon A) = B + \varepsilon[A, B] + \frac{\varepsilon^2}{2!}[A, [A, B]] + \dots \quad 29-1$$

$$D^\dagger(\alpha)aD(\alpha) = a + \alpha, \quad [\alpha a^\dagger + \alpha^* a, a] = \alpha \quad 30-1$$

$$D^\dagger(\alpha)a^\dagger D(\alpha) = a^\dagger + \alpha^*, \quad [\alpha a^\dagger + \alpha^* a, a^\dagger] = \alpha^* \quad 31-1$$

برای تابعی از عملگرهای خلق و فنا داریم:

$$D^\dagger(\alpha)F(a, a^\dagger)D(\alpha) = F(a + \alpha, a^\dagger + \alpha^*) \quad 32-1$$

از ضرب دو عملگر جابجایی یک عملگر جابجایی با یک ضریب فاز حاصل می‌شود. جابجایی کل برابر مجموع جابجایی‌های جداگانه می‌باشد [۳، ۴، ۷]. بطور مثال:

$$\begin{aligned} D(\alpha)D(\alpha') &= \exp(\alpha a^\dagger - \alpha^* a)\exp(\alpha' a^\dagger - \alpha'^* a) \\ D(\alpha)D(\alpha') &= \exp((\alpha + \alpha')a^\dagger - (\alpha^* + \alpha'^*)a)\exp((\alpha\alpha'^* - \alpha^*\alpha')/2) \end{aligned} \quad 33-1$$

جمله' $\alpha\alpha'^* - \alpha^*\alpha'$ موهومی محض است، که به عنوان یک ضریب فاز قبل از $D(\alpha + \alpha')$ قرار می‌گیرد. درنتیجه می‌توان تاثیر یک عملگر جابجایی (α') را روی حالت همدوس بصورت مجموع دو جابجایی با یک ضریب فاز در نظر گرفت.

$$\begin{aligned} D(\alpha')|\alpha''\rangle &= D(\alpha')D(\alpha'')|\circ\rangle = \exp\left(\left(\alpha'\alpha''^* - \alpha'^*\alpha''\right)/2\right)D(\alpha' + \alpha'')|\circ\rangle \\ &= \exp\left(\left(\alpha'\alpha''^* - \alpha'^*\alpha''\right)/2\right)|\alpha' + \alpha''\rangle \end{aligned} \quad ۳۴-۱$$

دو عملگر جابجایی متفاوت $D(\alpha')$ و $D(\alpha)$ متعامد هستند.

$$Tr[D(\alpha)D^\dagger(\alpha')] = \pi\delta^2(\alpha - \alpha') \quad ۳۵-۱$$

در اینجا $\delta^2(\alpha)$ برابر $\delta(\text{Re}[\alpha])\delta(\text{Im}[\alpha])$ است [۸].

۷. آمار فوتونی [۳، ۴، ۷]

احتمال اینکه یک حالت همدوس $|\alpha\rangle$ دارای تعداد n فوتون باشد برابر است با:

$$\langle n|\alpha\rangle = \sum_n \exp\left(-\frac{|\alpha|^2}{2}\right) \sum_{n=0}^{\infty} \frac{\alpha^n}{\sqrt{n!}} \langle n|n\rangle \quad ۳۶-۱$$

در نتیجه توزیع تعداد فوتون‌ها در هر حالت همدوس به صورت زیر در می‌آید.

$$P_n \equiv |C_n|^2 = |\langle n|\alpha\rangle|^2 = \exp(-|\alpha|^2) \frac{\alpha^{2n}}{n!} \quad ۳۷-۱$$

مشاهده می‌کنیم این توزیع پواسون^{۱۱} است. تعداد متوسط فوتون‌ها برابر است با

$$\langle n \rangle = \langle \alpha | a^\dagger a | \alpha \rangle = |\alpha|^2 \quad ۳۸-۱$$

$$\langle n^2 \rangle = \langle \alpha | a^\dagger a a^\dagger a | \alpha \rangle = \langle \alpha | a^\dagger a | \alpha \rangle + \langle \alpha | a^\dagger a^2 | \alpha \rangle = |\alpha|^2 + |\alpha|^4 \quad ۳۹-۱$$

واریانس تعداد فوتون‌ها عبارتست از

$$(\Delta n)^2 = \langle n^2 \rangle - \langle n \rangle^2 = \langle n \rangle \quad ۴۰-۱$$

^{۱۱} Poisson

۱-۳. حالت‌های فشرده [۵].

در سال ۱۹۲۶ میلادی ارل هس کنارد^{۱۲} تحول زمانی سه سیستم زیر را مورد بررسی قرار داد [۹].

۱. ذره باردار در میدان الکتریکی.
 ۲. ذره باردار در میدان مغناطیسی.
 ۳. تابع گاوی در پتانسیل نوسانگر هماهنگ (که به پیدایش حالات فشرده انجامید).
- کنارد متوجه شد حالت‌های بالا دارای شرایط زیر هستند.

۱- حاصل ضرب عدم قطعیت‌های مکان x و اندازه حرکت خطی p این سیستم‌ها مقدار ثابتی است.

۲- مقدار کمینه حاصل ضرب عدم قطعیت‌ها با $\sin^2 2t$ که در آن t زمان است، تغییر می‌کند.

۳- حاصل ضرب عدم قطعیت‌های مکان x و اندازه حرکت خطی p آنها در هر نیم دوره دو بار کمینه می‌شود.

۴- حالت‌هایی که برای آنها عدم قطعیت‌ها با هم برابر می‌شوند، حالت‌های همدوس نامیده می‌شود.

در واقع او دریافت که این حالت‌ها حرکت کلاسیکی داشته و نیز گاوی هستند ولی پهنه‌ای آنها بر خلاف حالت پایه نوسانگر هماهنگ، با زمان نوسان می‌کند [۱۰].

اما این مقاله سال‌های بسیاری مسکوت ماند زیرا به نظر می‌رسید که این حالت‌ها سال‌ها پیش از زمان خود کشف شده بودند. در دهه ۱۹۷۰ میلادی به حالت‌های فشرده^{۱۳} که در ابتدا حالت‌های همدوس تعمیم یافته^{۱۴} و حالت‌های همدوس دو فوتونی نامیده می‌شدند، توجه بیشتری شد. در دهه ۱۹۸۰ میلادی کاربرد واژه "حالت فشرده" عمومیت یافت و در اواسط این دهه بود که نور فشرده^{۱۵} [۱۱] برای نخستین بار توسط اسلالشر^{۱۶} و همکارانش از آزمایشگاه بل گزارش شد [۱۲]. در سال‌های اخیر از جنبه نظری و تجربی توجه فراوانی

¹² Earle Hesse Kennard

¹³ Squeezed vacuum states

¹⁴ Generalized coherent state

¹⁵ Squeezed light

¹⁶ Slusher

به حالت‌های فشرده شده است. این امید وجود دارد که این حالت‌ها در ایجاد ارتباط نوری با استفاده از فیبر نوری، راه موثرتری را در انتقال اطلاعات ایجاد کنند. همچنین این حالت‌ها می‌توانند اهمیت فوق العاده‌ای در آشکارسازی امواج گرانشی با تداخل سنج‌های نوری داشته باشند.

فشدگی یک اثر غیر کلاسیکی است که در میدان‌های نوری ظاهر می‌شود. معمولاً در یک محیط غیر-خطی که با میدان نوری برهمنکش دارد، فشدگی ظاهر می‌شود. برای مثال یک هامیلتونی مربعی^{۱۷} می‌تواند اثر فشدگی ایجاد کند [۱۳]:

$$H \left(a, a^\dagger, t \right) = \hbar \omega a^\dagger a + \hbar f(t) \left[\left(a^\dagger \right)^2 + a^2 \right] \quad ۴۱-۱$$

که در آن $f(t)$ یک تابع حقیقی از زمان است.

دو عملگر جدید X و Y را به صورت زیر معرفی می‌کنیم [۸-۳]

$$X = \frac{a + a^\dagger}{2} = \sqrt{\frac{\omega}{2\hbar}} q \quad , \quad Y = \frac{a - a^\dagger}{2} = \sqrt{\frac{1}{2\hbar\omega}} p \quad ۴۲-۱$$

این دو عملگر هرمیتی هستند و رابطه جابجایی آنها به صورت $[X, Y] = i/2$ می‌باشد. لذا رابطه زیر برقرار است:

$$\langle (\Delta X)^2 \rangle \langle (\Delta Y)^2 \rangle \geq \frac{1}{16} \quad ۴۳-۱$$

که برای حالت‌های همدوس با توجه به روابط بخش قبل داریم

$$\langle (\Delta X)^2 \rangle = \frac{1}{4} \quad , \quad \langle (\Delta Y)^2 \rangle = \frac{1}{4} \quad ۴۴-۱$$

i. عملگر فشدگی و حالت همدوس فشرده
عملگر فشدگی را به صورت زیر تعریف می‌کنیم

$$S(\xi) = \exp \left(\frac{1}{2} \left(\xi^* a^2 - \xi a^{*2} \right) \right) \quad ۴۵-۱$$

^{۱۷} Quadratic operator

که در آن $r \equiv r \exp(i\theta)$ یک عدد مختلط است و پارامتر فشردگی نامیده می‌شود. این عملگر یک عملگر یکانی است.

حال عملگرهای تعمیم یافته خلق و نابودی را به صورت زیر معرفی می‌کنیم

$$\left. \begin{array}{l} A = S(\xi)aS^\dagger(\xi) = a \cosh r + a^\dagger \exp(i\theta) \sinh r \equiv \mu a + \nu a^\dagger \\ A^\dagger = S(\xi)a^\dagger S^\dagger(\xi) = a \cosh r - a^\dagger \exp(-i\theta) \sinh r \end{array} \right\} \quad 46-1$$

که در آن $\nu \equiv \exp(i\theta) \sinh r$, $\mu \equiv \cosh r$ و رابطه جابجایی زیرا برای عملگر خلق و نابودی تعمیم یافته داریم $[A, A^\dagger] = 1$. می‌توان عملگرهای خلق و نابودی را برحسب عملگرهای خلق نابودی تعمیم یافته به صورت زیر باز نویسی کرد:

$$\left. \begin{array}{l} a = \mu A - \nu A^\dagger \\ a^\dagger = \mu A^\dagger - \nu^* A \end{array} \right. , \quad |\mu|^2 - |\nu|^2 = 1 \quad 47-1$$

حال فشرده همدوس از اثر عملگر جابجایی و عملگر فشردگی بر حالت خلاء بدست می‌آید [۳, ۷, ۸].

$$|\alpha, \xi\rangle = D(\alpha)S(\xi)|\circ\rangle \quad 48-1$$

i.i. حال فشرده به عنوان ویژه حالت عملگر نابودی تعمیم یافته
حال نشان می‌دهیم که حالت‌های فشرده ویژه حالت‌های عملگر نابودی تعمیم یافته می‌باشند [۳]. برای
این کار:

$$A|\alpha, \xi\rangle = AD(\alpha)S(\xi)|\circ\rangle = S(\xi)aS^\dagger(\xi)D(\alpha)S(\xi)|\circ\rangle \quad 49-1$$

اثبات کرد که

$$D(\alpha)S(\xi) = S(\xi)D(\beta) \quad 50-1$$

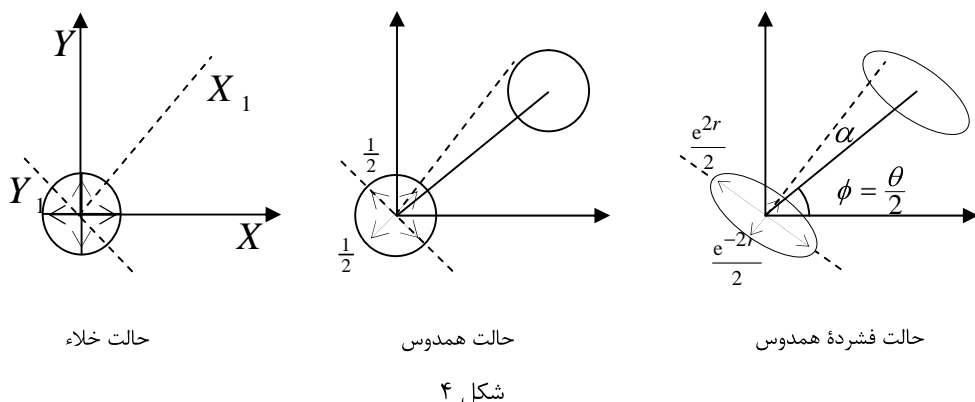
که در آن β به صورت زیر تعریف شده است.

$$\beta \equiv \alpha \cosh r + \alpha^* \exp(i\theta) \sinh r \quad 51-1$$

با قرار دادن رابطه (۵۰-۱) در رابطه (۴۹-۱)، داریم

$$\begin{aligned} A|\alpha, \xi\rangle &= S(\xi)aD(\beta)|\circ\rangle = S(\xi)a|\beta\rangle \\ &= \beta S(\xi)|\beta\rangle = \beta S(\xi)D(\beta)|\circ\rangle = \beta D(\alpha)S(\xi)|\circ\rangle = \beta|\alpha, \xi\rangle \end{aligned} \quad 52-1$$

یک حالت فشرده در فضای فاز با فشرده شدن حالت خلاء که به صورت یک حلقه نمایش داده می‌شود و تبدیل آن به یک بیضی و همچنین دوران به اندازه $\frac{\theta}{2}$ که در نهایت به اندازه α جابجا می‌شود نمایش داده می‌شود.^[۸-۳]



شکل ۴

iii. نوسان‌های عملگر تربیع^{۱۸}

مقدار چشمداشتی عملگر تربیع ΔX و ΔY نسبت به حالت‌های فشرده عبارت است از:

$$\begin{aligned}
 \langle \Delta X_1^2 \rangle_{sq} &= \langle \circ |S^\dagger(\xi) D^\dagger(\alpha) \Delta X_1 D(\alpha) D^\dagger(\alpha) \Delta X_1 D(\alpha) S(\xi)|\circ \rangle \\
 &= \langle \circ |S^\dagger(\xi) \frac{1}{4} [\exp(-i\phi)(a + \alpha - \langle a \rangle) + \exp(-i\phi)(a^\dagger + \alpha^* - \langle a^\dagger \rangle)]^2 S(\xi)|\circ \rangle \\
 &= \frac{1}{4} \langle \circ |S^\dagger(\xi) [\exp(-i\phi)a + \exp(-i\phi)a^\dagger]^2 S(\xi)|\circ \rangle \\
 &= \frac{1}{4} [\exp(-i2\phi)\langle \alpha, \circ |a^2 |\circ, \xi \rangle + \exp(i2\phi)\langle \alpha, \circ |a^{\dagger 2} |\circ, \xi \rangle + 1 + 2\langle \alpha, \circ |a^\dagger a |\circ, \xi \rangle]
 \end{aligned} \tag{۵۶-۱}$$

به ازای $\theta = 2\phi$ داریم

¹⁸ Quadrature

$$\langle \Delta X_1^2 \rangle_{Sq} = \frac{1}{4}[1 + 2\sinh^2 r - 2\cosh r \sinh r] = \frac{\exp(-2r)}{4} \quad 58-1$$

بطور مشابه:

$$\langle \Delta Y_1^2 \rangle_{Sq} = \frac{\exp(2r)}{4} \quad 59-1$$

با قرار دادن روابط (58-1) و (59-1) در معادلات (ΔX^2) و (ΔY^2) ، عبارات زیر بدست می آید.

$$\langle \Delta X^2 \rangle_{Sq} = \frac{1}{4}[\exp(-2r)\cos^2 \frac{\theta}{2} + \exp(2r)\sin^2 \frac{\theta}{2}] \quad 60-1$$

$$\langle \Delta Y^2 \rangle_{Sq} = \frac{1}{4}[\exp(-2r)\sin^2 \frac{\theta}{2} + \exp(2r)\cos^2 \frac{\theta}{2}] \quad 61-1$$

که نشان می دهد واریانس مستقل از دامنه همدوس α می باشد.

برای اینکه شرط فشردگی برای عملگر تربیع X برقرار باشد، یعنی داشته باشیم.

$$\langle (\Delta X)^2 \rangle_{Sq} < \frac{1}{4} \quad 62-1$$

باید $r \cos \theta$ باشد. مقدار کمینه آن برای $\theta = 0^\circ$ عبارت است از

$$\text{بطور } \langle (\Delta X)^2 \rangle_{Sq} = \frac{\exp(-2r)}{4} \quad 63-1$$

مشابه شرط فشردگی برای Y عبارت است از $r \cos \theta < -\tanh r$. به آسانی عبارت زیر نتیجه می شود:

$$\langle (\Delta X)^2 \rangle_{Sq} \langle (\Delta Y)^2 \rangle_{Sq} = \frac{1}{16} [\cosh^2(2r) \sin^2 \theta + \cos^2 \theta] \quad 64-1$$

که رابطه فوق به ازای مقادیر $\theta = 0^\circ$ یا $\theta = \pi$ کمینه می شود [۳,۶].

$$\langle (\Delta X)^2 \rangle_{Sq} \langle (\Delta Y)^2 \rangle_{Sq} = \frac{1}{4} \quad 65-1$$

v. آمار فوتونی

توزیع فوتون در یک حالت فشرده همدوس به صورت زیر می باشد.

$$P_n = |\langle n | \alpha, \xi \rangle|^2 \quad 66-1$$

که پس از محاسبه داریم:

$$\langle n | \alpha, \xi \rangle = \frac{1}{\sqrt{n! \cosh r}} \left[\frac{1}{2} \exp(i\theta) \tanh r \right]^{\frac{n}{2}} \times \\ \exp \left[-\frac{1}{2} \left(|\alpha|^2 + \alpha^* \exp(i\theta) \tanh r \right) \right] H_n \left[\frac{\alpha + \alpha^* \exp(i\theta) \tanh r}{\sqrt{2 \exp(i\theta) \tanh r}} \right] \quad 67-1$$

که در آن H_n تابع هنکل از مرتبه n می‌باشد. [۳.۷]

v. حالت‌های فشرده چند مُدی

یک حالت فشرده را می‌توان به صورت زیر از حالت خلاء بدست آورد [۳].

$$|\alpha_+, \alpha_-, \xi\rangle = D_+(\alpha_+) D_-(\alpha_-) S(\xi) |0\rangle \quad 70-1$$

که در آن

$$D_{\pm}(\alpha_{\pm}) = \exp \left[\alpha_{\pm} a_{\pm}^{\dagger} - \alpha_{\pm}^* a_{\pm} \right] \quad 71-1$$

و

$$S_{+-}(\xi) a_{\pm} S_{+-}^{\dagger}(\xi) = a_{\pm} \cosh r + a_{\mp}^{\dagger} \exp(i\theta) \sinh r \quad 72-1$$

است و با استفاده از آنها می‌توان مقادیر چشیداشتی زیر را بدست آورد:

$$\begin{aligned} \langle a_{\pm} \rangle &= \alpha_{\pm}, \quad \langle a_+ a_- \rangle = \alpha_+ \alpha_- - \exp(i\theta) \sinh r \cosh r = \langle a_- a_+ \rangle \\ \langle a_+ a_+ \rangle &= \alpha^2, \quad \langle a_+^{\dagger} a_+ \rangle = |\alpha_+|^2 + \sinh^2 r \end{aligned} \quad 71-1$$

vi. شکل صریح حالت‌های فشرده در پایه‌های عددی (فوک)

همانطور که می‌دانیم حالت‌های فشرده عددی از اعمال عملگر فشردگی (ζ) بر روی حالت‌های پایه عددی نوسانگ هماهنگ بدست می‌آیند.

$$|\zeta\rangle = S(\zeta) |0\rangle = \exp \left(\frac{1}{2} \zeta^* a^2 - \frac{1}{2} \zeta a^* \right) |0\rangle \quad 72-1$$